

# Hydrothermal Synthesis of $\text{CaWO}_4:\text{Dy}^{3+}$ <sub>x</sub> Microcrystallines and their Luminescent Properties

Yan-yan Wei<sup>1</sup>, Xin Lai, Jian Bi, Chan-juan Liu, Yi Luo, Yang Li, Dao-jiang Gao, Dun-min Lin

<sup>1</sup>College of Chemistry and Materials Science, Sichuan Normal University, Chengdu, China 610066

Email:daojianggao@126.com

**Abstract:**  $\text{CaWO}_4:\text{Dy}^{3+}$ <sub>x</sub> solid solution microcrystallines were synthesized by hydrothermal method; the crystal structure, surface morphology and room temperature photoluminescence properties of the microcrystallines were investigated by through X-ray diffraction(XRD), scanning electron micrograph(SEM) and fluorescence analysis(FA). Our results show that the  $\text{CaWO}_4:\text{Dy}^{3+}$ <sub>x</sub> microcrystallines were scheelite structure with tetragonal symmetry. The doping of  $\text{Dy}^{3+}$  inhibits the grain growth, decreases the intrinsic emission of  $\text{WO}_4^{2-}$  complex ions and enhances the peaks located at 480nm and 575nm of  $\text{Dy}^{3+}$  ion, giving the maximum at  $x=0.01$ . The abtained  $\text{CaWO}_4:\text{Dy}^{3+}_{0.01}$  microcrystalline is a promising phosphor and its grain size is about 4μm.

**Keywords:**  $\text{CaWO}_4:\text{Dy}^{3+}$ <sub>x</sub> microcrystallines; hydrothermal method; Synthesis; luminescent properties

## 水热法合成 $\text{CaWO}_4:\text{Dy}^{3+}$ <sub>x</sub> 微晶及其发光性能

魏艳艳<sup>1</sup>, 赖欣, 毕剑, 刘婵娟, 罗怡, 李阳, 高道江, 贾敦敏

<sup>1</sup>四川师范大学 化学与材料科学学院, 成都, 中国, 610066

Email:daojianggao@126.com

**摘要:** 利用水热法制备了稀土掺杂的  $\text{CaWO}_4:\text{Dy}^{3+}$ <sub>x</sub> 固溶体微晶, 通过 XRD、SEM、荧光分析等测试手段对微晶结构、形貌和发光性能进行了表征。结果表明:  $\text{CaWO}_4:\text{Dy}^{3+}$ <sub>x</sub> 固溶体微晶为四方晶相的白钨矿结构。稀土离子  $\text{Dy}^{3+}$  的掺入抑制固溶体微晶的生长, 降低了  $\text{CaWO}_4$  微晶本征发射峰的强度, 而加强了 480nm 和 575nm 处的  $\text{Dy}^{3+}$  特征发射峰强度, 并在  $x=0.01$  时达到最大。合成的  $\text{CaWO}_4:\text{Dy}^{3+}$ <sub>x</sub> 微晶晶粒尺寸约为 4μm, 可以作为一种有希望的荧光材料用于实践中。

**关键词:**  $\text{CaWO}_4:\text{Dy}^{3+}$  微晶; 水热法; 合成; 发光性能

## 1 引言

白钨矿型钨酸盐  $\text{AWO}_4$ (A = Ca、Sr、Ba 等)晶体是典型的荧光材料, 其发光起源于具有四面体结构的  $\text{WO}_4^{2-}$  配离子, 其中  $\text{W}^{6+}$  离子位于四面体的中心, 4 个  $\text{O}^{2-}$  离子位于四面体的 4 个顶角。白钨矿型钨钼酸盐在发光二极管、超大屏幕显示器、激光器基质等方面具有广泛的应用。

在白钨矿钨酸盐家族中, 钨酸钙因具有化学性质和耐辐照性稳定、价格合适、容易制备等优点, 早在 1896 年就第一个被用做 X 射线发光材料的化合物, 而且沿用至今。由于  $\text{CaWO}_4$  的发射光谱是一个单一的宽带谱, 限制了它更广泛的应用。因此, 如何调控  $\text{CaWO}_4$  发射

**资助信息:** 国家自然科学基金(50472103); 四川省青年科技基金(08ZQ026-054); 四川师范大学科研基金(08KYL02); 四川省教育厅重点项目(09ZA092)。

光谱及其发射波长, 是相关研究的热点。目前, 大多采用掺入一些激活剂元素来实现。这些激活剂种类繁多, 其中应用比较多的是稀土离子, 这是因为稀土离子具有丰富的光谱带, 发射峰几乎覆盖了从紫外到红外的所有波长; 而且稀土离子的半径和碱土金属离子半径相近, 可以很容易的掺入碱土金属钨钼酸盐, 形成固溶体微晶<sup>[1,2]</sup>。例如, Fang Lei, Su Yiguo 等采用固相法合成了发射红光的  $\text{Eu}^{3+}$  掺杂的  $\text{CaWO}_4$  微晶<sup>[3,4]</sup>, Liao Jingsheng 等采用水热法制备了发射绿光的  $\text{Tb}^{3+}$  掺杂  $\text{CaWO}_4$  微晶<sup>[5]</sup>, 以及稀土离子掺杂其它白钨矿结构的钨钼酸盐材料<sup>[6~9]</sup>。

目前稀土离子掺杂钨钼酸盐多采用高温固相法, 此类方法获得的微晶形貌极为不规整, 并且颗粒比较大, 不利于荧光粉在实际中的应用<sup>[3, 10]</sup>。水热合成法具有反应温度低、制备产物物相纯、形貌规整、粒度均一等优点<sup>[11]</sup>。本文采用水热合成法制备  $\text{CaWO}_4:\text{Dy}^{3+}$ <sub>x</sub> 系列固

溶体微晶，并通过 XRD、SEM、FA 等分析  $Dy^{3+}$ 掺杂及其掺杂浓度对其结构、形貌及性能。

## 2 试验

### 2.1 $CaWO_4:Dy^{3+}$ 固溶体微晶的制备

分别以  $Ca(NO_3)_2$ (AR, ≥99.5%, 成都市科龙化工试剂厂)、 $Na_2WO_4 \cdot 2H_2O$  (AR, ≥99.5%, 成都市科龙化工试剂厂)和  $Dy_2O_3$ (AR, ≥99.5%, 上海晶纯试剂有限公司)配制 0.2mol/L 的  $Ca(NO_3)_2$ 、0.4mol/L 的  $Na_2WO_4$  和 0.05mol/L 的  $Dy(NO_3)_3$  溶液。按生成  $CaWO_4:Dy^{3+}_x$  固溶体微晶的化学计量比，加入相应的  $Ca(NO_3)_2$  和  $Dy(NO_3)_3$  溶液，利用水热法制备  $CaWO_4:Dy^{3+}_x$  固溶体微晶，具体的工艺流程如图 1 所示。

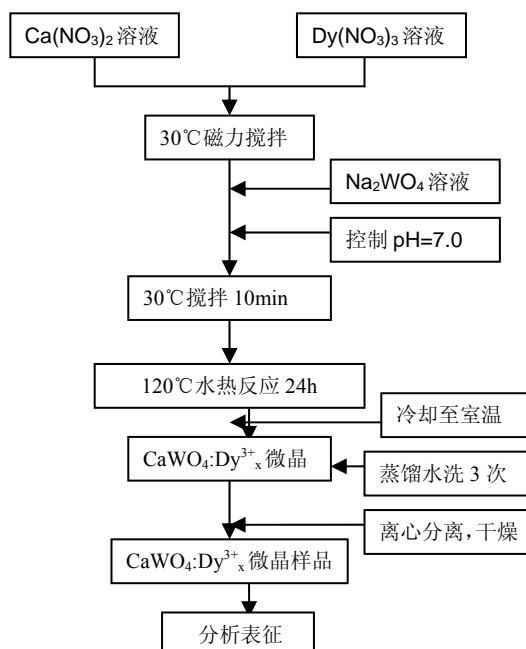


Figure 1. Flow chart for preparation of  $CaWO_4:Dy^{3+}_x$  microcrystallines via the hydrothermal method

图 1. 水热法制备  $CaWO_4:Dy^{3+}_x$  固溶体微晶工艺流程图

### 2.2 固溶体微晶的性能及表征

微晶的晶相结构采用 X 射线衍射仪(XD-2 型, 北京普析。辐射源为  $CuK\alpha$ , 管压为 40kV, 管电流为 30mA, 扫描速度为 4°/min)进行分析；采用扫描电子显微镜(JSM-5900, JEOL, 日本。加速电压 20kV)对微晶的形貌进行表征；微晶的光学性能则采用荧光分

析仪(F-7000, Hitachi, 日本)对其分析表征。

## 3 结果与讨论

图 2 是水热法制备的  $CaWO_4:Dy^{3+}_x$  固溶体微晶的 XRD 衍射图。

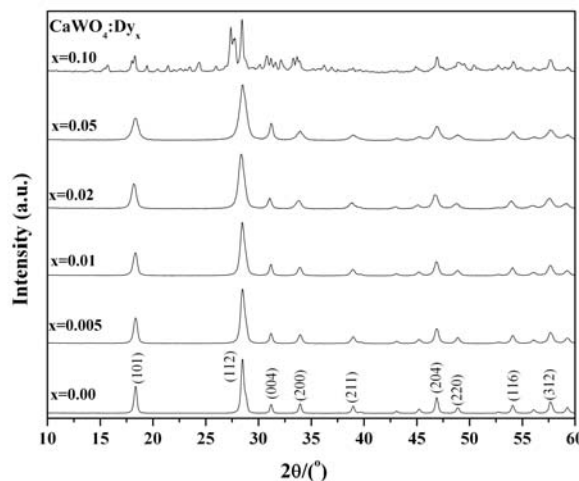


Figure 2. XRD patterns of  $CaWO_4:Dy^{3+}_x$  microcrystallines synthesized by hydrothermal method

图 2. 水热法制备  $CaWO_4:Dy^{3+}_x$  固溶体微晶的 XRD 图谱

从图 2 可以看出：当稀土的掺入量  $x \leq 0.05$  时，水热法制备的  $CaWO_4:Dy^{3+}_x$  固溶体微晶均结晶良好，与 JCPDS 标准 PDF 卡片( $CaWO_4$ , No. 85-0854)对照，显示它们都是四方晶相的白钨矿结构，和其它文献报道基本一致<sup>[12~15]</sup>。微晶的特征衍射峰(101)、(112)、(004)、(200)、(211)、(204)和(312)等均明显显露，并且随着溶液中  $x$  值的增加，衍射峰峰宽逐渐变大。其原因是少量  $Dy^{3+}$ (离子半径: 90.8pm) ( $x \leq 0.05$ ) 取代晶胞中部分  $Ca^{2+}$ (离子半径: 99pm) 格位，并不会引起微晶结构的改变，只是  $Dy^{3+}$ 的离子半径比  $Ca^{2+}$ 的稍小，由 Bragg 方程： $\lambda = 2d_{hkl} \sin \theta$  可知<sup>[16]</sup>，相应的衍射峰有稍微向高角方向偏移现象。衍射峰的宽化，表明随着  $Dy^{3+}$ 的掺入， $CaWO_4:Dy^{3+}_x$  固溶体微晶的尺寸减小，晶粒生长受到抑制。但是  $Dy^{3+}$ 掺入过多，将严重抑制微晶晶相结构的生长，出现微晶结构畸变，主衍射峰(112)甚至宽化为两个峰，如图 2 中当  $x=0.10$  时的 XRD 图谱。

图 3 是  $CaWO_4:Dy^{3+}_x$  固溶体微晶的 SEM 图。

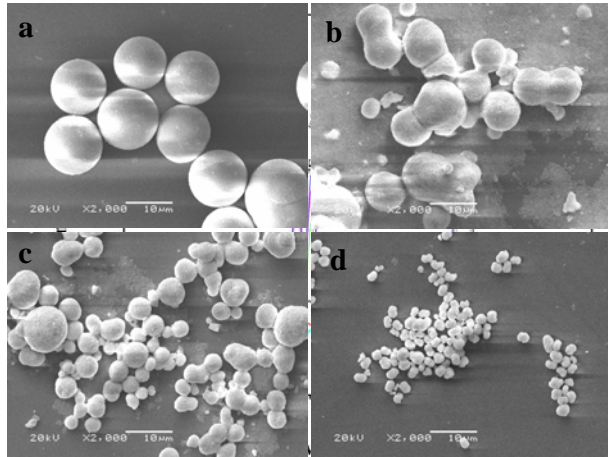


Figure3. SEM images of  $\text{CaWO}_4:\text{Dy}^{3+}_x$  microcrystallines via the hydrothermalmethod

(a) $\text{CaWO}_4$ ;(b) $\text{CaWO}_4:\text{Dy}^{3+}_{0.005}$ ;(c) $\text{CaWO}_4:\text{Dy}^{3+}_{0.01}$ ;(d) $\text{CaWO}_4:\text{Dy}^{3+}_{0.05}$

图 3. 水热法制备  $\text{CaWO}_4:\text{Dy}^{3+}_x$  固溶体微晶 SEM 图谱

(a) $\text{CaWO}_4$ ;(b) $\text{CaWO}_4:\text{Dy}^{3+}_{0.005}$ ;(c) $\text{CaWO}_4:\text{Dy}^{3+}_{0.01}$ ;(d) $\text{CaWO}_4:\text{Dy}^{3+}_{0.05}$

从图中可以看出：所有固溶体微晶均为表面光滑的球状体，晶粒随  $\text{Dy}^{3+}$ 掺杂量增加而逐渐减小。未掺稀土离子  $\text{Dy}^{3+}$ 时，即纯  $\text{CaWO}_4$  微晶，晶粒大小均匀，平均尺寸约为  $10\mu\text{m}$  (图 3a)。当  $\text{Dy}^{3+}$  掺入后， $\text{CaWO}_4:\text{Dy}^{3+}_x$  固溶体微晶的尺寸明显减小(图 3c-d)；且随着  $x$  逐渐增大，晶粒逐渐减小，颗粒大小也变得有些不均匀。当  $x=0.01$  时，晶粒平均粒径为  $4\mu\text{m}$ ，当  $x$  增至 0.05 时，粒径仅为  $1\mu\text{m}$ 。这表明  $\text{Dy}^{3+}$  对  $\text{CaWO}_4:\text{Dy}^{3+}_x$  微晶的生长有明显的抑制作用，且稀土掺杂量越多抑制作用越强，这也和前面的 XRD 结果相一致的。

图 4 是  $\text{CaWO}_4:\text{Dy}^{3+}_x$  固溶体微晶的室温激发图谱。

纯  $\text{CaWO}_4$  微晶激发波长位于  $256\text{nm}$  处，是  $\text{WO}_4^{2-}$  络合离子的典型激发波长。当稀土离子  $\text{Dy}^{3+}$  掺入之后，从图 4 可以非常明显地看出：随着掺杂量  $x$  的增大， $256\text{nm}$  处的激发波长逐渐减弱，而在  $350\text{nm}\sim470\text{nm}$  之间出现一系列锐的  $\text{Dy}^{3+}$  的典型激发峰，其中  $353\text{nm}$  处的峰最尖锐、强度最高。因此采用  $353\text{nm}$  近紫外光对  $\text{CaWO}_4:\text{Dy}^{3+}_x$  固溶体微晶进行激发，获得其室温发射光谱，如图 5 所示。

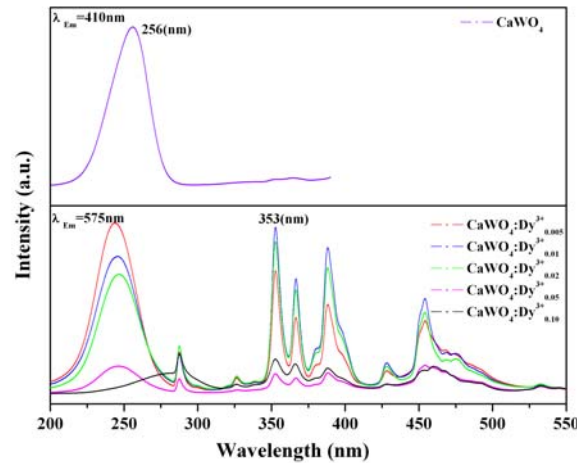


Figure4.Excitation spectra of the as-synthesized  $\text{CaWO}_4:\text{Dy}^{3+}_x$  microcrystallines at room temperature.

图 4  $\text{CaWO}_4:\text{Dy}^{3+}_x$  固溶体微晶的室温激发图谱

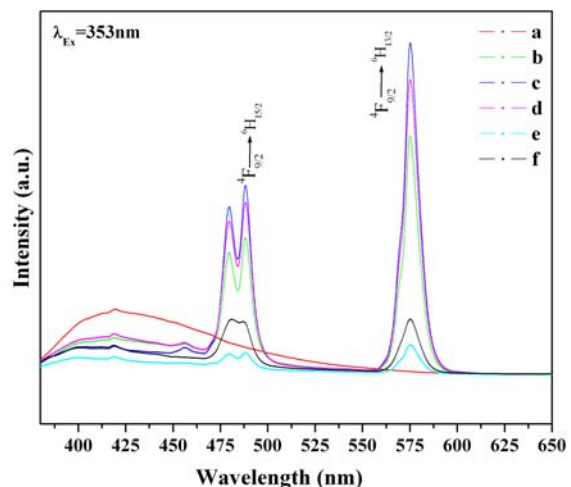


Figure5. Emission spectra of  $\text{CaWO}_4:\text{Dy}^{3+}_x$  microcrystallines at room temperature

(a) $\text{CaWO}_4$ ;(b) $\text{CaWO}_4:\text{Dy}^{3+}_{0.005}$ ;(c) $\text{CaWO}_4:\text{Dy}^{3+}_{0.01}$ ;  
(d) $\text{CaWO}_4:\text{Dy}^{3+}_{0.02}$ ;(e) $\text{CaWO}_4:\text{Dy}^{3+}_{0.05}$ ;(f) $\text{CaWO}_4:\text{Dy}^{3+}_{0.10}$

图 5  $\text{CaWO}_4:\text{Dy}^{3+}_x$  固溶体微晶的室温光致发光图

(a) $\text{CaWO}_4$ ;(b) $\text{CaWO}_4:\text{Dy}^{3+}_{0.005}$ ;(c) $\text{CaWO}_4:\text{Dy}^{3+}_{0.01}$ ;  
(d) $\text{CaWO}_4:\text{Dy}^{3+}_{0.02}$ ;(e) $\text{CaWO}_4:\text{Dy}^{3+}_{0.05}$ ;(f) $\text{CaWO}_4:\text{Dy}^{3+}_{0.10}$

从图 5 可以看出：在  $353\text{nm}$  近紫外光激发下，纯  $\text{CaWO}_4$  微晶发射峰约位于  $410\text{ nm}$  处，是一个宽的发光带，这是自激活  $\text{CaWO}_4$  特有的发射光谱带<sup>[12, 13]</sup>。当稀土离子  $\text{Dy}^{3+}$  掺入之后， $410\text{nm}$  附近的发射峰逐渐减弱；同时在  $480\text{nm}$  处出现一偶合双峰、 $575\text{nm}$  处出现一锐而强的黄发射峰，这是稀土离子  $\text{Dy}^{3+}$  的典型发射峰，分别对应于  $4F_{9/2}\rightarrow 6H_{15/2}$  跃迁和  $4F_{9/2}\rightarrow 6H_{13/2}$  跃

迁。另外还可发现，随着  $Dy^{3+}$  的掺入量(即  $x$ )的增加， $CaWO_4:Dy^{3+x}$  固溶体微晶中  $Dy^{3+}$  的特征峰强度呈现先增大后减小的趋势，并在  $x=0.01$  时，达到最大。这是因为少量稀土离子可以有效促进能量转化，获得的微晶具有较好的光学性能；但过多的掺入稀土离子会抑制微晶生长，导致晶粒过小(图 3d)，降低微晶发光强度，甚至高浓度稀土离子  $Dy^{3+}$  还会引起发光猝灭效应。因此，选择合适的稀土离子掺杂量，对微晶的光学性能具有重要作用。本文中  $x=0.01$  是水热法制备  $CaWO_4:Dy^{3+x}$  固溶体微晶比较合适的掺杂量。

## 4 结论

利用水热法制备了  $Dy^{3+}$  掺杂的  $CaWO_4:Dy^{3+x}$  固溶体微晶，研究了  $Dy^{3+}$  的掺入量(即  $x$ )对微晶的结构、形貌和光学性能的影响。当  $x \leq 0.05$  时，制备的  $CaWO_4:Dy^{3+x}$  固溶体微晶为四方晶相的纯白钨矿结构，微晶为球形，颗粒大小随着  $x$  的增加逐渐减小。在 353nm 近紫外光激发下，位于 410nm 处的  $[WO_4^{2-}]$  四面体本征发射峰随着  $x$  的增加逐渐减小；而位于 480nm 和 575nm 处的  $Dy^{3+}$  的特征发射峰强度呈现先增加后减小的趋势，且在  $x=0.01$  时达到最大。

## References (参考文献)

- [1] Qiong Wei,Donghua Chen. Luminescence properties of  $Eu^{3+}$  and  $Sm^{3+}$  caactivated  $Gd(III)$  tungstate phosphor for light-emitting diodes[J]. Optics & Laser Technology, 2009, 41: 783-787.
- [2] Jinsheng Liao, Bao Qiu, Herui Wen,et al. Synthesis process and luminescence properties of  $Tm^{3+}$  in  $AWO_4$  ( $A=Ca,Sr,Ba$ ) blue phosphors[J]. Journal of Alloys and Compounds, 2009, 487: 758-762.
- [3] Lei Fang, Yan Bing. Hydrothermal synthesis and luminescence of  $CaMO_4:RE^{3+}$  ( $M=W,Mo;RE=Eu,Tb$ ) submicro-phosphors[J]. Journal of Solid State Chemistry, 2008, 181: 855 -862.
- [4] Yiguo Su, Liping Li, Guangshe Li. Synthesis and Optimum Luminescence of  $CaWO_4$ -Based Red Phosphors with Codoping of  $Eu^{3+}$  and  $Na^+$ [J]. Chem. Mater, 2008, 20(19): 6060-6067.
- [5] Jingsheng Liao, Bao Qiu, Herui Wen,et al. Photoluminescence green in microspheres of  $CaWO_4:Tb^{3+}$  processed in conventional hydrothermal[J]. Optical Materials, 2009, 31: 1513-1516.
- [6] Linghong Yi, Liya Zhou, Zhengliang Wang, et al.  $KGd(MoO_4)_2:Eu^{3+}$  as a promising red phosphor for light-emitting diode application[J]. Current Applied Physics, 2010,10: 208-213
- [7] IedaL.V.Rosa, Ana Paula A. Marques, M.T.S.Tanaka, et al. Europium(III) Concentration Effect on the Spectroscopic and Photoluminescent Properties of  $BaMoO_4:Eu$ [J]. Journal of Fluorescence, 2009, 19(3): 495-500.
- [8] Piaoping Yang, Chunxia Li, Wenxin Wang, et al. Uniform  $AMoO_4:Ln(A=Sr^{2+},Ba^{2+};Ln=Eu^{3+},Tb^{3+})$  submicron particles: Solvothermal synthesis and luminescent properties[J].Journal of Solid State Chemistry, 2009,182:2510-2520.
- [9] Jingsheng Liao, Bao Qiu, Herui Wen, et al. Hydrothermal synthesis and photoluminescence of  $SrWO_4:Tb^{3+}$  novel green phosphor[J]. Materials Research Bulletin, 2009, 44: 1863-1866.
- [10] Xu Li, Zhiping Yang, Li Guan,et al. Synthesis and luminescent properties of  $CaMoO_4:Tb^{3+},R^{+}(Li^+,Na^+,K^+)$ [J]. Journal of Alloys andCompounds, 2009, 478:684-686.
- [11] Xurong Xu, Mianzeng Su.Optical and Luminescent Materials[M]Beijing:ChemicalIndustryPress,2004. 611-614(Ch).徐叙瑢,苏勉曾.发光学与发光材料[M].北京：化学工业出版社, 2004. 611-614.
- [12] Chen Z., Gong Q., Zhu J.,et al. Controllable synthesis of hierarchical nanostructures of  $CaWO_4$  and  $SrWO_4$  via a facile low-temperature route[J]. Materials Research Bulletin, 2009, 44: 45-50.
- [13] Titipun Thongtem,Sulawan Kaowphong, Somchai Thongtem. Influence of cetyltrimethylammonium bromide on the morphology of  $AWO_4$  ( $A=Ca,Sr$ ) prepared by cyclic microwave irradiation[J]. Applied Surface Science, 2008, 254: 7765-7769.
- [14] Eung Soo Kim,Soon Ho Kim,Burtrand I. Lee. Low-temperature sintering and microwave dielectric properties of  $CaWO_4$  ceramics for LTCC applications[J]. Journal of the European Ceramic Society, 2006, 26: 2101-2104.
- [15] Yanggang Wang, Junfeng Ma, Jiantao Tao,et al. Synthesis of  $CaWO_4$  nanoparticles by a molten salt method[J]. Materials Letters, 2006, 60: 291-293.
- [16] Gongdu Zhou,Lianyun Duan.Basis of Structural Chemistry[M].Beijing: Beijing University Press,1997. 368(Ch).周公度,段连运.结构化学基础[M].北京：北京大学出版社, 1997. 368.